

پایداری حل‌های منفرد معادله غیر خطی شرودینگر مرتبه پنجم

محمدمهردی گلشن^۱ و مریم مرادی^۲

۱. بخش فیزیک دانشگاه شیراز

۲. گروه فیزیک دانشگاه الزهرا (س)

(دریافت مقاله: ۱۲/۴/۸۱؛ دریافت نسخه نهایی: ۵/۰/۸۲)

چکیده

در این مقاله به بررسی تحلیلی پایداری حل‌های منفرد معادلات غیر خطی شرودینگر مرتبه پنجم (CQNLSE) که حاکم بر انتشار تپ الکترومغناطیسی در فیبرهای نوری غیر خطی می‌باشد، پرداخته می‌شود. با فرض اینکه به حل‌های منفرد معادله مذکور اختلالی به شکل $\delta u(T) = (a(T) + ib(T))e^{i\beta_s(T)}$ وارد می‌شود، با استفاده از نظریه عملگرها نشان می‌دهیم که اختلال وارد رشد ندارد و حل منفرد CNLSE پایدار می‌ماند. همچنین نشان می‌دهیم که تحت این اختلال، اولین وردش هامیلتونی CQNLSE صفر بوده و دومین مرتبه وردش مشت خواهد بود که نشانگر پایداری حل‌های منفرد این معادله تحت اثر اختلال وارد است.

واژه‌های کلیدی: اثرات غیر خطی، CQNLSE، حل‌های منفرد، پایداری

۱. مقدمه

سالیتونهای اپتیکی از جمله موضوعاتی است که، چه از جنبه نظری و چه از جنبه کاربردی، در چند دهه اخیر شدیداً مورد توجه قرار گرفته است [۱, ۲, ۳]. به طور کلی امواج منفرد (که سالیتونهای اپتیکی نوع خاصی از آن می‌باشند) در محیط‌هایی که اثرات غیر خطی، اثر پاشندگی را خنثی می‌کنند ایجاد می‌شوند [۴]. از آنجا که قطبش محیط تابعی از میدان الکتریکی اعمال شده می‌باشد، با افزایش شدت میدان، اثرات غیرخطی در قطبش ظاهر شده که استفاده از آن در معادلات ماسکول منجر به معادله غیر خطی شرودینگر می‌شود [۵]. اگر در بسط قطبش بر حسب میدان الکتریکی (محیط همسانگرد فرض می‌شود) جملات مرتبه سوم و مرتبه پنجم در نظر گرفته شوند، رفتار موج الکترومغناطیسی توسط معادله غیر خطی شرودینگر مرتبه سوم (Cubic Nonlinear Schrödinger Equation) و مرتبه پنجم (Cubic-Quintic Nonlinear Schrödinger Equation) بیان می‌شود که اختصاراً به ترتیب CQNLSE و CNLSE نامیده می‌شوند. اثرات

جمله غیر خطی مرتبه پنجم، بخصوص در فیبرهای سیلیکایی اائیده، حائز اهمیت بوده و موضوع گزارشات متعددی را تشکیل می‌دهد [۶, ۷].
 حل‌های منفرد (سالیتونی) CNLSE و پایداری آنها از روش‌های عددی و همچنین تحلیلی و به خصوص هنگامیکه در یک محیط غیرخطی دو مؤلفه میدان الکتریکی با یکدیگر جفت می‌شوند (معادلات جفت شده غیر خطی شرودینگر مرتبه سوم) به طور مشروح گزارش شده است [۸, ۹, ۱۰]. از طرف دیگر هر چند که گزارشاتی در خصوص پایداری حل‌های منفرد CNLSE به روش‌های عددی در دسترس است [۱۱, ۱۲]، تاکنون پایداری تحلیلی این قبیل حلها بررسی نشده است. هدف این مقاله بررسی شرایط پایداری حل‌های منفرد CNLSE می‌باشد. برای این منظور پس از معرفی CQNLSE حل‌های منفرد آن را به شکل عمومی $u_s(T) = e^{i\beta_s(T)}u_s$ ، که در آن β_s و T به ترتیب مختصه معرف محور فیر و مختصه زمانی است ارائه نموده، $u_s(T)$ را تعیین می‌نماییم. شکل این حل و نیز نمودار

قطبیش الکتریکی به صورت زیر بر حسب میدان الکتریکی اعمال شده، نوشتہ می شود [۱۴]:

$$\vec{P} = \chi \vec{E} + \chi^{(3)} |\vec{E}|^3 \vec{E} + \chi^{(5)} |\vec{E}|^5 \vec{E} + \dots, \quad (1)$$

که در آن $\chi^{(j)}$ ($j=1, 2, 5, \dots$)، زامین مرتبه پذیرفتاری، برای مواد همسانگرد اعدادی ثابت می باشند. با استفاده از رابطه (۱) در تعریف جابه جایی الکتریکی (در فضای فوریه):

$$\vec{D}(\omega) = \vec{E}(\omega) + 4\pi \vec{P}(\omega) \equiv \epsilon(\omega) \vec{E}(\omega) \quad (2)$$

که در آن $\epsilon(\omega)$ گذردهی الکتریکی (تأخیری) [۱۵] می باشد، خواهیم داشت:

$$\epsilon(\omega)^4 = (1 + 4\pi\chi^{(1)})^3 + 4\pi\chi^{(3)} |\vec{E}(\omega)|^3 + 4\pi\chi^{(5)} |\vec{E}(\omega)|^5 + \dots. \quad (3)$$

جمله اول سمت راست معادله (۳) گذردهی الکتریکی خطی و جمله دوم، معرف گذردهی الکتریکی غیر خطی می باشند. با توجه به تعریف ضریب شکست محیط، $n = \sqrt{\epsilon(\omega)}$ ، ضریب شکست محیط غیر خطی به صورت زیر حاصل می شود:

$$n = n_0 + n_1 |\vec{E}(\omega)|^3 + n_2 |\vec{E}(\omega)|^5 + \dots, \quad (4)$$

که در آن $(1 + 4\pi\chi^{(1)}) = n_0$ ضریب شکست خطی بوده و سایر جملات شامل n_1, n_2, \dots اثرات غیر خطی در ضریب شکست خواهد بود [۱۶].

حال با استفاده از قانون آمپر-ماکسول و قانون فاراده، معادله حاکم بر انتشار تپهای عرضی الکترومغناطیسی در امتداد محور فیبر (محور z ها) و در فضای فوریه به صورت زیر به دست می آید:

$$\frac{d^r E(z, \omega)}{dz^r} + \frac{\omega^r}{c^r} \epsilon(\omega) E(z, \omega) = 0. \quad (5)$$

اگر تبدیل فوریه عبارت زیر

$$E(z, t) = A(z, t) e^{i(k_0 z - \omega_0 t)} + c.c., \quad (6)$$

را به عنوان حل معادله (۵) در آن جایگزین نموده، از مشتق مرتبه دوم دامنه در امتداد محور فیبر صرف نظر نماییم، خواهیم داشت،

$$i \frac{\partial A(z, \omega - \omega_0)}{\partial z} + (k - k_0) A(z, \omega - \omega_0) = 0, \quad (7)$$

که در آن $\frac{\omega}{c} = k$ ، ثابت انتشار بوده و با توجه به رابطه (۳) شامل اثرات پاشندگی و همچنین غیر خطی می باشد. اکنون با توجه به تعریف k ، آنرا حول ω بسط داده و از جملات مرتبه سوم و بالاتر صرف نظر می نماییم، در این صورت،

تحولی آن نشان می دهد که $(T, \xi) u$ در حقیقت یک موج منفرد است.

برای بررسی پایداری جوابهای منفرد CQNLSE، فرض می کنیم که جوابها دچار اختلالی به شکل $(T, \xi) u_s(T) + \delta u(T)$ باشد، که در آن $\delta u(T) = (a(T) + ib(T)) e^{i\xi T}$ عامل اختلال است، می گردد. با استفاده از نظریه عملگرها [۱۳, ۹] نشان می دهیم که ξ^2 برای CQNLSE منفی بوده که در نتیجه عامل اختلال در راستای محور فیبر نوسانی و فاقد رشد می باشد. به عبارت دیگر جوابهای CQNLSE تحت این قیل اختلالات در امتداد محور فیبر پایدار می باشند. همچنین این اختلال را در هامیلتونی CQNLSE به کار گرفته نشان می دهیم که وردش مرتبه اول هامیلتونی نسبت به این اختلال صفر بوده و وردش مرتبه دوم آن مثبت است که این نتیجه نیز تأییدی بر پایداری حلها تحت اینگونه اختلالات خواهد بود.

سازمان این مقاله به ترتیب زیر می باشد. پس از مقدمه، در قسمت دوم از بسط قطبیش الکتریکی بر حسب توانهای میدان الکتریکی در معادلات ماکسول استفاده نموده، معادله غیر خطی شرو دینگر مرتبه پنجم، CQNLSE را استخراج می نماییم. قسمت سوم این مقاله به ارائه حلها منفرد CQNLSE اختصاص دارد. در قسمت چهارم، معیار پایداری جوابهای منفرد CQNLSE و بویژه علامت ξ^2 را تعیین نموده و نشان می دهیم که اختلالات فوق الذکر رشد خواهند داشت. وردشی هامیلتونی CQNLSE قسمت پنجم را در بر می گیرد. در این قسمت نشان خواهیم داد که وردش مرتبه اول هامیلتونی در این قسمت اختلالات فوق الذکر صفر و وردش مرتبه دوم آن مثبت است. قسمت آخر این مقاله به بحث و نتیجه گیری اختصاص خواهد داشت.

۲. انتشار تپ الکترومغناطیسی در فیبرهای نوری غیرخطی

واکنش مواد دی الکتریک نسبت به اعمال میدانهای الکترومغناطیسی قوی، غیرخطی خواهد بود. واکنش غیر خطی مواد مربوط به حرکت غیر هارمونیک الکترونهای مقید تحت تأثیر میدان اعمالی است [۱۴]. واکنش مواد دی الکتریک (با صرف نظر کردن از اثرات مغناطیسی) به میدانهای الکترومغناطیسی قوی، در قالب قطبیش الکتریکی ماده، غیر خطی خواهد بود. برای یک دی الکتریک همسانگرد و همگن،

طول موج ۶۲ در رابطه (۱۵) منفی [۱۱] و در نتیجه δ منفی خواهد بود. چنانچه خواهیم دید، علامت δ (و یا ۶۲) در پایداری حل‌های انفرادی CQNLSE نقش اساسی خواهند داشت.

۳. حل‌های منفرد CQNLSE

برای به دست آوردن حل‌های معادله CQNLSE بدين ترتیب عمل می‌کنیم که حلی به صورت $u_s(\xi, T) = u_s(T)e^{i\beta\xi}$ را در معادله (۱۶) جایگزین نموده، معادله دیفرانسیل حاصل برای $u_s(T)$ را

$$\frac{1}{2} \frac{\partial^2 u_s}{\partial T^2} - \beta u_s + |u_s|^2 u_s + \delta |u_s|^4 u_s = 0, \quad (18)$$

را مستقیماً انتگرال گیری می‌نماییم. حاصل به صورت زیر خواهد بود:

$$u(\xi, T) = \frac{\sqrt{2}c_1}{[c_1 \cosh(2c_1 T) + 1]} e^{i\beta\xi}, \quad (19)$$

که در این رابطه $c_1 = 1 + \frac{\lambda}{\beta}$ و $c_1^2 = 1 + \frac{\delta}{\beta}$ می‌باشد [۱۹]. از طرف دیگر به سهولت می‌توان نشان داد که اگر در رابطه (۱۹) تبدیلات $T \rightarrow T - w\xi + wT$ اعمال شود حاصل مجدداً حلی از CQNLSE خواهد بود [۱۱، ۱۶]:

$$u(\xi, T) = \sqrt{2}c_1 e^{i(\beta\xi + wT)} [1 + c_1 \cosh(2c_1(T - w\xi))]^{-1/2}. \quad (20)$$

یاد آوری می‌شود که شکل اخیر حل معادله CQNLSE در مختصات ثابت (آزمایشگاه) می‌باشد. در شکل‌های ۱ و ۲، نمودار رابطه (۲۰) بر حسب ξ و T و به ترتیب برای δ های منفی و مثبت نمایش داده شده است. همان‌گونه که از رابطه (۲۰) و این نمودارها مشخص است، به ازای δ های منفی (و یا ۶۲ های منفی) حلها بدون تغییر شکل در امتداد محور فیبر (ξ) و نیز زمان (T) منتشر می‌شوند، پس حلی که در رابطه (۲۰) آمده است در واقع یک موج منفرد است.

۴. معیار تحلیلی پایداری حل‌های منفرد CQNLSE

همان‌گونه که قبلاً نیز آمد، هدف از این گزارش، بررسی پایداری حل‌های CQNLSE تحت اختلالاتی به شکل،

$$u_s(T) \rightarrow u_s(T) + \delta u(\xi, T) = u_s(T) + (a(T) + ib(T))e^{i\beta\xi}, \quad (21)$$

می‌باشد. یاد آوری می‌شود که اگر در این اختلال ξ منفی باشد، اختلال رشد نداشته و جوابهای CQNLSE پایدارند. بنابراین، درادامه به بحث در مورد تعیین علامت δ خواهیم پرداخت. با

$$k - k_\circ = k_{nli} \Big|_{\omega=\omega_\circ} + k'(\omega - \omega_\circ) \Big|_{\omega=\omega_\circ} + \frac{1}{2} k'' \quad (8)$$

$$(\omega - \omega_\circ)^2 \Big|_{\omega=\omega_\circ},$$

که در آن مطابق معمول:

$$k_\circ = n_\circ \frac{\omega_\circ}{c}, \quad (9)$$

$$k_{nli} \Big|_{\omega=\omega_\circ} = (n_r \Big| \vec{E}(\omega_\circ) \Big|^2 + n_f \Big| \vec{E}(\omega_\circ) \Big|^2 + \dots) \frac{\omega_\circ}{c}, \quad (10)$$

$$\beta_\gamma = k' = \left(\frac{dk}{d\omega} \right)_{\omega=\omega_\circ} = \frac{1}{V_g}, \quad (11)$$

$$\beta_\gamma = k'' = \left(\frac{d^2 k}{d\omega^2} \right)_{\omega=\omega_\circ} = \frac{d}{d\omega} \left(\frac{1}{V_g} \right) \Big|_{\omega=\omega_\circ}, \quad (12)$$

روابط (۱۱) و (۱۲) به ترتیب معرف پاشندگی محیط و پاشندگی سرعت گروه می‌باشند. با جایگزینی روابط (۱۰) الی (۱۲) در رابطه (۸)، استفاده از نتیجه در رابطه (۷) و نهایتاً استفاده از معکوس تبدیلات فوریه، معادله غیر خطی شرودینگر مرتبه پنجم به صورت زیر حاصل خواهد شد:

$$i \frac{\partial A}{\partial z} + i\beta_\gamma \frac{\partial A}{\partial t} - \frac{\beta_\gamma}{2} \frac{\partial^2 A}{\partial t^2} + \gamma_\gamma |A|^2 A + \gamma_\gamma |A|^4 A = 0, \quad (13)$$

که در آن

$$\gamma_\gamma = n_r \frac{\omega_\circ}{c}, \quad (14)$$

و

$$\gamma_\gamma = n_f \frac{\omega_\circ}{c}, \quad (15)$$

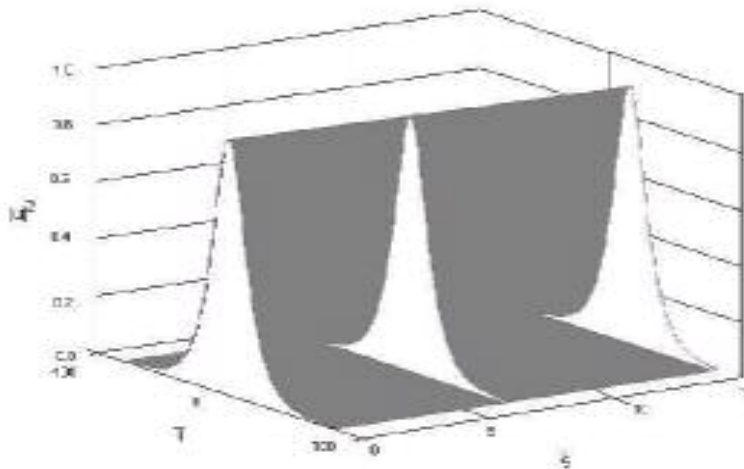
خصوصیات غیر خطی فیبر را تعیین می‌کنند. معادله (۱۳) با تغییر مناسبی از متغیرها (بر حسب متغیرهای بدون بعد و در مختصاتی که همراه تپ حرکت می‌کند) [۱۷، ۱۸] به شکل متعارف زیر در خواهد آمد:

$$i \frac{\partial u}{\partial \xi} + \frac{1}{2} \frac{\partial^2 u}{\partial T^2} + |u|^2 u + \delta |u|^4 u = 0, \quad (16)$$

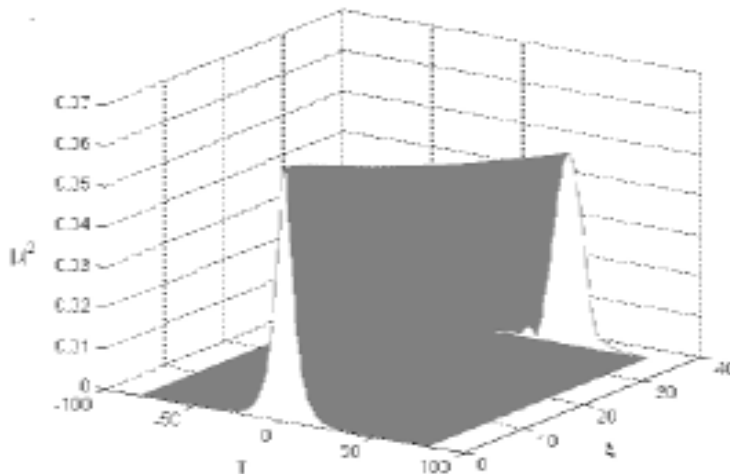
که در آن ξ معرف مختصه‌ای در امتداد فیبر، T معرف زمان،

$$\delta = \frac{\gamma_\gamma}{\gamma_\gamma z_c}, \quad (17)$$

بوده و z_c طول پاشندگی (طولی که در آن پاشندگی اهمیت پیدا می‌کند) [۱۷] می‌باشد. معادله (۱۶) همان CQNLSE است که پایداری و شکل حل‌های منفرد آن موضوع اصلی این مقاله است. خاطر نشان می‌شود که در استخراج CQNLSE، معادله (۱۶)، از اتفاف در فیبر صرف نظر شده است. این چشمپوشی به ویژه در فیبرهایی از جنس سیلیکا و در طول موج $\mu m = 1/55$ که در آن اتفاف کمینه است، به واقعیت نزدیک است [۱۸]. در این



شکل ۱. نمودار انتشار تپ الکترومغناطیسی در فیبر نوری مرتبه پنجم به ازای $\delta > 0$.



شکل ۲. نمودار انتشار تپ الکترومغناطیسی در فیبر نوری غیرخطی مرتبه پنجم به ازای $\delta > 0$.

توجه می شود که u_s در دو رابطه اخیر قسمت مستقل از γ در رابطه (۱۹) است. اگر معادله (۲۳) را با ضرب طرفین از چپ در L^-_o برای b حل نموده و حاصل را در معادله (۲۲) بکار گیریم، خواهیم داشت:

$$L_\gamma a = -\gamma^* L_o^- a, \quad (26)$$

که پس از ضرب در $(T)^*$ از سمت چپ و انتگرال گیری روی T ، می توان آن را برای γ^* به صورت زیر حل نمود:

$$\gamma^* = \frac{\langle a | L_\gamma | a \rangle}{-\langle a | L_o^- | a \rangle}, \quad (27)$$

جایگزینی جواب اختلال یافته در CQNLS و فرض آنکه اختلال مورد نظر به قدری کوچک است که می توان از توانهای دوم و بالاتر آن صرف نظر نمود، خواهیم داشت:

$$L_\gamma a = \gamma b, \quad (22)$$

$$L_o^- b = -\gamma a \quad (23)$$

که در آن دو عملگر هرمیتی L_o و L_γ عبارتند از:

$$L_o = \frac{1}{2} \frac{\partial^2}{\partial T^2} - \beta + u_s^2 + \delta u_s^2, \quad (24)$$

$$L_\gamma = \frac{1}{2} \frac{\partial^2}{\partial T^2} - \beta + 2u_s^2 + 5\delta u_s^2, \quad (25)$$

اگر تمامی ویژه مقادیر L_1 منفی بوده، حلها پایدار خواهند بود. از طرف دیگر می‌توان نشان داد که L_1 دارای سه ویژه مقدار β و -3β می‌باشد [۱۹] که ویژه مقدار صفر (ویژه حالت متناظر با ویژه مقدار صفر $\langle s | \frac{d}{dT} | s \rangle$) است که با توجه به جایگزیده بودن حلها متفاوت CQNLSE بر $\langle s |$ عمود است [۱۹]. در رابطه (۳۰) ظاهر نشده و λ باید بین β و -3β قرار گیرد. بنابراین شرط دیگری برای حلها متفاوت CQNLSE را مورد بررسی قرار می‌دهیم. به ازای $\lambda = 0$ در رابطه (۳۰) خواهیم داشت،

$$g(\cdot) = \sum_m \frac{c_m^2}{\lambda_m}. \quad (31)$$

در حقیقت علامت (\cdot) در رابطه (۳۱) بیانگر علامت λ در رابطه (۳۰) خواهد بود. چرا که اگر (\cdot) g مثبت باشد، برای آنکه $g(\lambda)$ برابر با صفر شود، باید $\lambda > 0$ باشد که در نتیجه آن λ منفی و حلها ناپایدار خواهند بود. برای تعیین علامت (\cdot) g ، از بسط $\langle s |$ بر حسب ویژه حالتها L_1 (رابطه (۲۹)) و معادله ویژه مقداری L_1^- (با ویژه مقادیر λ_m^-) استفاده نموده، خواهیم داشت،

$$g(\cdot) = \langle s | L_1^- | s \rangle. \quad (32)$$

اگر از معادله حاکم بر $u_s(T)$ ، معادله (۱۶) (به بخش اول مراجعه شود)، نسبت به β مشتق گرفته و از، رابطه (۲۵) استفاده کنیم رابطه زیر نتیجه خواهد شد،

$$L_1 \frac{\partial}{\partial \beta} |s\rangle = |s\rangle. \quad (33)$$

با استفاده از روابط (۳۲) و (۳۳) نتیجه می‌شود که،

$$g(\cdot) = \left\langle s \left| \frac{\partial s}{\partial \beta} \right. \right\rangle = \frac{1}{2} \frac{d}{d\beta} \int_{-\infty}^{+\infty} |u_s|^2 dT = \frac{1}{2} \frac{dP}{d\beta}, \quad (34)$$

که در آن $P = \int_{-\infty}^{+\infty} |u_s|^2 dT$ معرف توان تپ الکترومغناطیسی است [۹، ۱۰]. استفاده از قسمت مستقل از λ رابطه (۱۹)، در رابطه (۳۴) نتیجه می‌دهد که:

$$\frac{dP}{d\beta} = -\frac{3}{8} \frac{1}{\sqrt{\beta c_m^2}} \frac{1}{\delta}. \quad (35)$$

بدین ترتیب، پایداری حلها متفاوت CQNLSE بستگی به علامت δ خواهد داشت. همان‌گونه که در آخر بخش ۲ آمد، در

که در رابطه اخیر، ضربهای داخلی را بر حسب نمادهای دیراک^۱ توصیف کرده‌ایم. پس از بسط $|a\rangle$ بر حسب ویژه حالتها L_1 و با توجه به آنکه L_1 تنها دو ویژه مقدار صفر و β دارد [۱۹]، به سهولت می‌توان نشان داد که $\langle a | L_1^- | a \rangle$ همیشه منفی و بنابراین مخرج کسر در رابطه (۲۷) همواره مثبت است. در نتیجه علامت λ همان علامت صورت کسر می‌باشد. اکنون اگر بیشینه صورت کسر منفی باشد، آنگاه کل کسر و در نتیجه λ منفی بوده و اختلال مورد بحث نوسانی خواهد بود. برای تعیین علامت بیشینه عبارت $\langle a | L_1 | a \rangle$ از ضرایب نامعین لاغرانژ استفاده می‌کنیم [۱۳]،

$$L_1 |a\rangle = \lambda |a\rangle + q |s\rangle, \quad (28)$$

که در آن $|s\rangle \equiv u_s(T)$ ، q و λ ضرایب نامعین لاغرانژ می‌باشند. با توجه به آنکه $|a\rangle$ و $|s\rangle$ متعامد و بهنجار می‌باشند [۱۹] (این دو قید منشاء وجود دو ضریب نا معین لاغرانژ در معادله اخیر است) مشاهده می‌شود که λ در معادله (۲۸) همان صورت کسر در رابطه (۲۷) است. پس برای تعیین علامت λ نیاز به تعیین علامت بزرگترین مقدار λ خواهد بود. برای تعیین علامت λ به طریق زیر عمل می‌نماییم،

با توجه به آنکه L_1 عملگری هرمیتی است، ویژه حالتها آن مجموعه کاملی را تشکیل می‌دهند. بنا براین $|a\rangle$ و $|s\rangle$ را می‌توان بر حسب این ویژه حالتها بسط داد:

$$|a\rangle = \sum_m a_m |F_m\rangle, \quad |s\rangle = \sum_m c_m |F_m\rangle. \quad (29)$$

استفاده از رابطه (۲۹) در رابطه (۲۸) و تعامد $|a\rangle$ و $|s\rangle$ عبارت زیر را نتیجه می‌دهد:

$$g(\lambda) = \sum_m \frac{|c_m|^2}{\lambda_m - \lambda} = 0, \quad (30)$$

که در آن λ_m ها ویژه مقادیر عملگر L_1 می‌باشند. رابطه (۳۰) بیانگر این واقعیت است که بزرگترین مقدار λ باید بین دو ویژه مقدار بزرگتر عملگر L_1 واقع شود (در غیر این صورت جملات معادله (۳۰) هم علامت بوده و جمع جبری آنها صفر نخواهد شد). اگر تمامی ویژه مقادیر L_1 مثبت باشند، آنگاه λ نیز مثبت بوده و حلها ناپایدارند. همچنین

۱. به عنوان مثال، $\langle f | L | g \rangle = \int dT f^*(T) L g(T)$ و نظایر آن.

δu و δu_T صرف نظر می‌نماییم. پس از انجام عملیاتی که طولانی ولی سرراست است، می‌توان نشان داد که،

$$\delta^2 H_N = -\langle b | L_+ | b \rangle - \langle a | L_- | a \rangle. \quad (40)$$

اگر از همان روشی که در بخش قبل برای تعیین علامت $\langle a | L_- | a \rangle$ به کار رفته است مجدداً استفاده کنیم، می‌توان نشان داد که،

$$\langle b | L_+ | b \rangle = -\beta |c|^2 < 0. \quad (41)$$

توجه می‌شود، $\beta < 0$ ، تنها ویژه مقداری است که ویژه حالت متناظر با آن (با احتمال $|c|^2$) در بسط $\langle b |$ ظاهر می‌شود. همچنین با توجه به مطالب بخش قبل، $\langle a | L_- | a \rangle$ نیز منفی است. بدین ترتیب وردش مرتبه دوم H_N مثبت خواهد بود و در نتیجه این اختلالات باعث کمینه شدن H_N می‌شود. پس تحت این قبیل اختلالات جوابهای منفرد CQNLSE پایدار هستند.

۶. نتیجه گیری

در این مقاله با استفاده از نظریه عملگرها، معیار پایداری حل‌های منفرد معادلات غیر خطی شرودینگر مرتبه پنجم، CQNLSE، ارائه شده است. برای این منظور نشان داده ایم که اگر حل‌های منفرد CQNLSE دچار اختلالی به صورت $e^{i\beta t}$ شوند، β منفی بوده و در نتیجه در امتداد محور ζ (محور فیبر در فیبرهای نوری) این اختلال رشد ندارد. تعیین علامت β وابسته به علامت ویژه مقادیر عملگر QNLSE، L_+ (رابطه (۲۷)) خواهد بود. از آنجا که برای L_+ دارای ویژه مقادیر مثبت و منفی است، علاوه بر این، علامت مشتق توان تپ الکترومغناطیسی نسبت به ثابت انتشار، $\frac{dP}{d\beta}$ لازم خواهد بود. در این مقاله روش تعیین علامت این کمیت را ارائه نموده، نشان داده ایم که مثبت است و در نتیجه β برای CQNLSE همواره منفی و حلها پایدار خواهند بود. وردش‌های مرتبه اول و دوم هامیلتونی نیز ارائه شده، نشان داده ایم که این هامیلتونی تحت این قبیل اختلالات کمینه می‌باشد که این خود تأییدی بر پایداری حل‌های منفرد QNLSE می‌باشد.

CQNLSE، δ منفی بوده و در نتیجه رابطه (۳۵) همیشه مثبت است. پس حل‌های منفرد CQNLSE، تحت اختلالاتی به صورت رابطه (۲۱)، همانند CNLSE، پایدار می‌باشند [۸].

۵. وردش هامیلتونی CQNLSE

به عنوان تاییدی بر نتیجه به دست آمده، هامیلتونی [۲۰] به عنوان CQNLSE را به صورت زیر می‌نویسیم:

$$H = \frac{1}{2} \int_{-\infty}^{+\infty} (|u_T|^2 - |u|^4 - \frac{2}{3} \delta |u|^6) dT. \quad (36)$$

در این رابطه $\frac{\partial u}{\partial T} = u_T$ می‌باشد. اگر u و u^* را به عنوان مختصه و تکانه تعمیم یافته در نظر گرفته و از قلاب پواسون استفاده شود، می‌توان نشان داد که هامیلتونی (۳۶) CQNLSE را نتیجه می‌دهد. به همین ترتیب می‌توان نشان داد معادله (۱۸) که از CQNLSE به ازای $u_s(T) e^{i\beta t}$ به دست می‌آید نیز از هامیلتونی زیر،

$$(37)$$

$$H_N = \frac{1}{2} \int_{-\infty}^{+\infty} (|u_{sT}|^2 - |u_s|^4 - \frac{2}{3} \delta |u_s|^6) dT + \beta \int_{-\infty}^{+\infty} |u_s|^2 dT,$$

حاصل می‌شود. ابتدا وردش مرتبه اول هامیلتونی (۳۷) را تحت اختلالی به شکل رابطه (۲۱) محاسبه می‌کنیم:

$$\begin{aligned} \delta H_N = & \frac{1}{2} \int_{-\infty}^{+\infty} (|u_{sT} + (\delta u)_T|^2 - |u_s + \delta u|^4 - \frac{2}{3} \delta |u_s + \delta u|^6) dT \\ & + \beta \int_{-\infty}^{+\infty} |u_s + \delta u|^2 dT. \end{aligned} \quad (38)$$

با صرف نظر کردن از مرتبه‌های دوم و بالاتر δu و همچنین

$$\begin{aligned} & \frac{\partial}{\partial T} (\delta u) = (\delta u)_T \quad (\text{به سهولت می‌توان نشان داد که،}) \\ & \delta H_N = 0. \end{aligned} \quad (39)$$

نتیجه اخیر بدان معنی است که به ازای این گونه اختلالات، هامیلتونی CQNLSE بهینه است. برای تعیین اینکه هامیلتونی CQNLSE تحت این اختلال بیشینه یا کمینه است، وردش مرتبه دوم آن را محاسبه می‌نماییم. برای این منظور اختلال مورد بحث را در معادله (۳۷) قرار داده از مرتبه‌های سوم و بیشتر

مراجع

12. S Gatz and J Herrmann, *IEEE J. Quantum Electron.* **28** (1992) 1732.
13. E A Kuznetsov ,A M Rubenchik and V E Zakharov, *Phys. Rep.* **142**,3 (1986) 103-165.
14. R W Boyd , *Nonlinear Optics* (Academic Press , San Diego, CA, 1992).
15. L D Landau and E M Lifshits , *Electrodynamics of Continuous Media*, (Oxford Pergaman Press, 1963) Translated from Russian.
16. D I Pushkarov and S Tanev, *Opt. Commun.* , **124** (1996) 354.
17. G P Agrawal, *Nonlinear Fiber Optics* , (Academic Press, 1995).
18. A Hasegawa , *Solitons in Optical Communication* , (Clarendon Press ,1995).
19. م. مرادي، ”بررسی پایداری حلهاي منفرد معادلات جفت شده غير خطى شرودينگر مرتبه پنجم“، رساله کارشناسی ارشد، دانشگاه الزهرا(س)، شهریور ۱۳۸۱.
20. J M Arnold, *Phys. Rev. E* **60** (1999) 1.
1. T Georges and F Favre, *J. Opt. Soc. Am. B*, **10**, (1993) 1880.
2. V E Zakharov and A B Shabat ,*Zh. Eksp. Teor.Fiz.* **61**, (1971) 118 [*Sov. Phys. JETP* , **34** , (1972) 62]; **64**, (1973) 1627 [**37**, (1973) 823].
3. A Hasegawa and F D Tappert, *Appl. Phys. Lett.* **23**, 142 , (1973) 171.
4. H Russell, *American Scientist*, **80**, (1992) , 350-361.
5. P G Drazin and R S Johnson, *Solitons :An introduction*, Cambridge University Press(1989).
6. S Tanev, D I Pushkarov, *Opt. Commun.*, **141**, (1997) 322.
7. S Gatz, J Herrmann, *J.Opt. Soc.Am.B*, **8**, (1991) 2296.
8. D J Mitchell and A W Snyder, *J. Opt. Soc.Am.B*,**10**, (1993) 1572.
9. Y Chen ,*Phys.Rev.E* , **57**, 3, (1998) 3542.
10. Y Chen and J. Atai ,*Opt. Commun.* , **150** (1998) 381-389.
11. S Cowan ,R H Enns , S S Rangnekar and S Sanghera , *Can. J. Phys.* **64** (1986) 311.